

УДК 535.2

ОТ МИКРОСЕКУНДНОГО СПИНОВОГО ЭХА К ФЕМТОСЕКУНДНОМУ ЭЛЕКТРОННОМУ ФОТОННОМУ ЭХУ

© 2019 г. И. С. Осадько*

*Федеральное государственное бюджетное учреждение науки Институт спектроскопии
Российской академии наук, Москва, Россия*

*E-mail: osadko@isan.troitsk.ru

Поступила в редакцию 20.06.2019 г.

После доработки 20.07.2019 г.

Принята к публикации 27.08.2019 г.

Спиновое и фотонное эхо, возбуждаемые микро- и наносекундными электромагнитными импульсами, на протяжении более 70 лет являются предметом интенсивного изучения в работах разных авторов. Математической основой для описания таких эхо-эффектов служат уравнения Блоха. Однако при возбуждении эхо-сигнала с помощью ультракоротких фемтосекундных импульсов стало очевидным, что уравнения Блоха не в состоянии описать наблюдаемые эхо-сигналы. В работе показано, как теория для матрицы плотности, обобщающая уравнения Блоха, может описать фемтосекундную релаксацию поляризации и фемтосекундное фотонное эхо.

DOI: 10.1134/S0367676519120184

ВВЕДЕНИЕ

То обстоятельство, что в среде под воздействием электромагнитного поля наводится поляризация среды вытекало уже из уравнений Максвелла для электромагнитного поля в среде. Эта поляризация порождается внешним электромагнитным полем как в электронных степенях свободы среды, так и в ядерных. В классической работе Ф. Блоха [1] были выведены уравнения, описывающие динамику ядерной среды, находящейся в электромагнитном поле, получившие названия “уравнения Блоха”. Опираясь на эти уравнения можно было вычислить не только линейный эффект распада магнитной индукции (оптическую нутацию), но и нелинейные эффекты, типа микроволнового эха. Этот эффект состоит в том, что после возбуждения магнитной среды двумя электромагнитными импульсами, разделенными временным интервалом Δt , появляется третий импульс – эхо, отделенный от второго импульса также интервалом Δt . Эрвин Хан [2] показал, что такое микроволновое эхо действительно проявляется в эксперименте, и дал объяснение этого эффекта на основе уравнений Блоха.

Поскольку микроволновое эхо порождается спинами ядер, то оно получило название спинового эха. Хороший обзор эхо-явлений, описываемых уравнениями Блоха, приведен в монографии А.А. Калачева и В.В. Самарцева [3]. Было, например, обнаружено эхо-явление, происходящее и в электронной спиновой системе [4, 5]. Однако на-

стоящий бум исследования различных нелинейных явлений, основанных на уравнениях Блоха, наступил после создания оптических источников когерентного света, типа рубинового лазера, построенного впервые в 1960 г. [6].

В 1963 г. в работе [7] авторами было показано, что эхо явления могут быть наблюдаемы и в оптическом диапазоне частот возбуждающего поля. И, действительно, такое эхо было зарегистрировано в рубине уже через год [8]. Поскольку эхо-сигнал наблюдали в оптическом диапазоне, он был назван фотонным эхом. Первые работы по фотонному эху в СССР были выполнены в Казани [9] и в Москве [10]. Казанский физико-технический институт (КФТИ) на долгие годы стал одним из ведущих институтов России в области спинового и фотонного эха.

Следует отметить, что математической основой для рассмотрения нелинейных явлений в среде, вызванных возбуждением среды электромагнитным полем, стали уравнения Блоха и их аналог, получивший название оптических уравнений Блоха. Эти уравнения были выведены для среды, в которой двухуровневые системы, взаимодействуют с электромагнитным полем и фононами среды. Физическое поведение таких двухуровневых систем детально рассмотрено в монографии Л. Аллана и Дж. Эберли [11], в которой среда описывается оптическими уравнениями Блоха, а электромагнитное поле – уравнениями Максвелла.

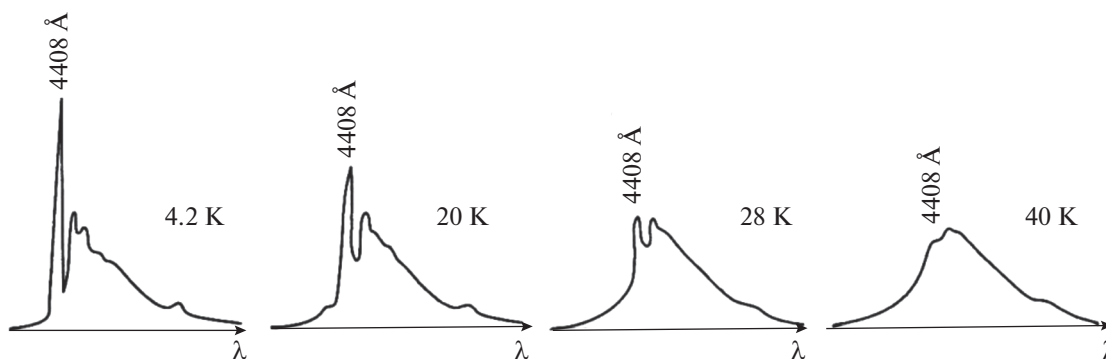


Рис. 1. Перераспределение интенсивности в полосе флуоресценции молекулы перилена в *n*-гептане при повышении температуры. Взято из [14].

Имея в виду рассмотрение в дальнейшем систем, которые требуют обобщения уравнений Блоха, оптические уравнения Блоха для электронных элементов матрицы плотности целесообразно записать в следующем виде

$$\begin{aligned} \dot{\rho}_{10} &= -i(\Delta - i/T_2)\rho_{10} - \chi(\rho_0 - \rho_1), \\ \dot{\rho}_{01} &= \dot{\rho}_{10}^*, \quad \dot{\rho}_1 = -\rho_1/T_1 - \chi(\rho_{10} + \rho_{01}), \\ \dot{\rho}_0 &= \rho_1/T_1 + \chi(\rho_{10} + \rho_{01}). \end{aligned} \quad (1)$$

Здесь χ — частота Раби, описывающая взаимодействие электронного дипольного момента примесного центра с электромагнитным полем, а взаимодействие этого центра с фононами учтено введением двух эмпирических релаксационных констант: T_1 — времени жизни возбужденного электронного уровня и T_2 — времени релаксации поляризации. Именно такие уравнения и послужили теоретической базой для многочисленных групп, которые исследовали различные типы фотонного эха. Такие исследования фотонного эха, проводившиеся в лаборатории В.В. Самарцева (КФТИ), нашли достаточно полное отражение в написанных им с соавторами монографиях [12, 13].

С началом исследований с применением фемтосекундных возбуждающих импульсов стало ясно, что распад поляризации, наведенной в твердотельном образце, не может быть описан с помощью уравнений (1). Например, из уравнений (1) вытекает, что при стационарном возбуждении населенность возбужденного уровня описывается лоренцианом с полушириной:

$$\Delta\omega_{1/2} = \frac{1}{T_2} \sqrt{1 + 4\chi^2 T_1 T_2}. \quad (2)$$

В системе, состоящей из магнитных моментов, для описания которых и создавались первоначально уравнения Блоха, индукция действительно описывается лоренцианом с полушириной (2). Однако система, состоящая, например, из моле-

кулярных примесных центров, имеет более сложную форму оптической полосы, как это показано на рис. 1.

Очевидно, что поляризацию системы, которая имеет подобные полосы поглощения и флуоресценции, невозможно описать с помощью оптических уравнений Блоха. Какие же уравнения будут описывать динамику подобной системы мы и рассмотрим в данной статье.

ВЕКТОР БЛОХА ЭЛЕКТРОННО-КОЛЕБАТЕЛЬНОЙ СИСТЕМЫ

Уравнения Блоха (1) построены для двухуровневой электронной системы. Четыре элемента матрицы плотности образуют четырехкомпонентный вектор Блоха $\vec{\rho} = (\rho_{10}, \rho_{01}, \rho_{11}, \rho_{00})$. Влияние фононов описывают два релаксационных времени T_1 и T_2 , введенных феноменологически.

Оптическая полоса флуоресценции примесного центра, изображенная на рис. 1, состоит из бесфононной линии (БФЛ), которая отвечает переходам между основным и возбужденным электронным состоянием, и фононного крыла (ФК), формируемого электронно-колебательным переходами. Следовательно, компоненты матрицы плотности такой электронно-колебательной системы должны зависеть как от электронных, так и колебательных индексов, т.е. вместо четырехкомпонентного вектора Блоха надо рассматривать вектор Блоха $\vec{\rho} = (\rho_{ba}, \rho_{ab}, \rho_{aa}, \rho_{bb})$ для электронно-колебательной системы. Здесь индексы *a* и *b* соответствуют электронно-колебательным состояниям электронно-невозбужденной и возбужденной системы. Число таких электронно-колебательных индексов бесконечно. Система уравнений для электронно-колебательного век-

тора Блоха $\bar{\rho} = (\rho_{ba}, \rho_{ab}, \rho_{aa'}, \rho_{bb'})$ были выведены автором [15]. Она выглядит следующим образом:

$$\begin{aligned}\dot{\rho}_{ba} &= -i \left(\Omega_{ba} - \frac{i}{2T_1} \right) \rho_{ba} + \sum_{b'} \rho_{bb'} \chi_{b'a} - \sum_a \chi_{ba} \rho_{a'a}, \\ \dot{\rho}_{ab} &= -i \left(\Omega_{ab} - \frac{i}{2T_1} \right) \rho_{ab} + \sum_{b'} \chi_{ab'}^* \rho_{b'b} - \sum_a \rho_{aa'} \chi_{a'b}^*, \\ \dot{\rho}_{bb'} &= - \sum_a \left(\rho_{ba} \chi_{ab'}^* + \chi_{ba} \rho_{ab'} \right) - i \left(\Omega_{bb'} - \frac{i}{T_1} \right) \rho_{bb'}, \\ \dot{\rho}_{aa'} &= \sum_b \left(\chi_{ab}^* \rho_{ba} + \rho_{ab} \chi_{ba'} \right) + \\ &+ \frac{1}{T_1} \sum_{bb'} \langle a|b \rangle \rho_{bb'} \langle b'|a' \rangle - i \Omega_{aa'} \rho_{aa'},\end{aligned}\quad (3)$$

где

$$\begin{aligned}\Omega_{ba} &= \Omega + \Omega_b - \Omega_a, \quad \Omega_{bb'} = \Omega_b - \Omega_{b'}, \\ \Omega_{aa'} &= \Omega_a - \Omega_{a'}, \quad \chi_{ab} = \frac{1}{\hbar} \langle a|\vec{d}|b \rangle \vec{E}(\vec{r}, t).\end{aligned}\quad (4)$$

Здесь Ω_b и Ω_a — частоты фононов в возбужденном и основном электронном состоянии примесного центра, соответственно; \vec{d} — дипольный момент электронного перехода. Система уравнений (3) содержит частоты лазерных мод в функции поля $\vec{E}(\vec{r}, t)$. Поэтому она позволяет рассматривать возбуждение примесного центра и немонахроматическим светом, т.е. рассматривать нестационарные эффекты в примесном центре даже при ультракоротком лазерном возбуждении, когда спектральная ширина импульса может оказаться шире оптической полосы поглощения. С такой ситуацией приходится сталкиваться при возбуждении молекул, например, лазерными импульсами с длительностью в несколько фемтосекунд.

Хотя система уравнений (3) существенно сложнее системы оптических уравнений Блоха, с ее помощью возможно проведение практических расчетов. Такие расчеты приведены ниже. В некоторых случаях для практических расчетов можно использовать упрощенный вариант системы (3), получающийся отбрасыванием недиагональных элементов матрицы плотности $\rho_{aa'}$ и $\rho_{bb'}$, которые описывают фазовую релаксацию в фононной подсистеме. В этом приближении мы можем ввести вероятности

$$p_a = \frac{\rho_{aa}}{\rho_0}, \quad p_b = \frac{\rho_{bb}}{\rho_1} \quad (5)$$

обнаружить соответствующее фононное состояние в основном и возбужденном электронном состоянии. Здесь

$$\rho_0 = \sum_a \rho_{aa}, \quad \rho_1 = \sum_b \rho_{bb} \quad (6)$$

суть вероятности найти примесную молекулу в основном или возбужденном электронном состоянии соответственно. Используя это приближение и производя суммирование по индексам a и b

в уравнениях для ρ_{aa} и ρ_{bb} , мы приходим к следующей системе уравнений:

$$\begin{aligned}\dot{\rho}_{ba} &= -i \left(\Omega_{ba} - \frac{i}{2T_1} \right) \rho_{ba} + \chi_{ba} (p_b \rho_1 - p_a \rho_0), \\ \dot{\rho}_{ab} &= -i \left(\Omega_{ab} - \frac{i}{2T_1} \right) \rho_{ab} + \chi_{ab}^* (p_b \rho_1 - p_a \rho_0), \\ \dot{\rho}_1 &= - \sum_{a,b} \left(\chi_{ab}^* \rho_{ba} + \chi_{ba} \rho_{ab} \right) - \frac{\rho_1}{T_1}, \\ \dot{\rho}_0 &= \sum_{a,b} \left(\chi_{ab}^* \rho_{ba} + \chi_{ba} \rho_{ab} \right) + \frac{\rho_1}{T_1}.\end{aligned}\quad (7)$$

Эту более простую систему уравнений можно применять вместо более сложной системы уравнений (3) при расчете наведенной поляризации и трехимпульсного фотонного эха, если расчет этих эффектов ведется в первом исчезающем приближении по взаимодействию со светом.

Хотя уравнения (3) и (7) для обобщенного вектора Блоха были выведены еще в 1990 г., их использование на практике стало актуальным только после появления фемтосекундных лазеров в лабораториях. Последние достижения в работе с фемтосекундными лазерами, реализованные в Санкт-Петербургском государственном университете информационных технологий и оптики и в Казанском физико-техническом институте изложены в монографии [16]. Другой разновидностью метода фотонного эха, в которой фемтосекундное временное разрешение достигается за счет использования широкополосных лазерных импульсов, является некогерентное фотонное эхо [17–20]).

ТЕОРИЯ ФОРМЫ ОПТИЧЕСКОЙ ПОЛОСЫ ПРИМЕСНОГО ЦЕНТРА

Для того, чтобы рассматривать поляризацию системы с полосами флуоресценции типа изображенных на рис. 1, мы должны рассмотреть детально взаимодействие таких примесных центров с фононами. Молекулярные примесные центры, как правило, имеют низкую симметрию. Поэтому их электронные степени свободы не вырождены. Взаимодействие таких центров с фононами матрицы можно рассматривать в адиабатическом приближении [21, 22]. В этом приближении гамильтониан примесного центра имеет следующий вид в электронно-возбужденном (e) и основном (g) состоянии:

$$\begin{aligned}H^e(R) &= T(R) + (R+a) \frac{U^e}{2} (R+a), \\ H^g(R) &= T(R) + R \frac{U^g}{2} R.\end{aligned}\quad (8)$$

Электрон-фононным взаимодействием является разность адиабатических гамильтонианов:

$$H^e - H^g = \Lambda = a \frac{U^e}{2} a + V(R) + W(R), \quad (9)$$

где первое слагаемое есть константа, а второе и третье слагаемое

$$V(R) = (aU^e)R = VR, \\ W(R) = R \frac{U^e - U^g}{2} R = R \frac{W}{2} R. \quad (10)$$

Описывают линейное и квадратичное по координатам R ядер франк-кондоновское (FC) взаимодействие.

Линейное FC-взаимодействие $V(R)$ определяется сдвигом положений равновесия осцилляторов среды. Его влияние на форму полос поглощения и флуоресценции можно рассмотреть для произвольной величины сдвигов положений равновесия. Форма полос поглощения и флуоресценции имеют следующий вид

$$k^g(\Delta) = \chi^2 \sum_{a,b} p_a \langle a|b \rangle \langle b|a \rangle \times \\ \times \frac{1/T_1}{(\Delta + \Omega_b - \Omega_a)^2 + (1/2T_1)^2}, \\ k^e(\Delta) = \chi^2 \sum_{a,b} p_b \langle a|b \rangle \langle b|a \rangle \times \\ \times \frac{1/T_1}{(\Delta + \Omega_b - \Omega_a)^2 + (1/2T_1)^2}. \quad (11)$$

Функция $k^g(\Delta)$ определяет вероятность поглощения в единицу времени фотона частоты ω_0 , отстроенного на величину $\Delta = \Omega - \omega_0$ от резонансной частоты Ω , а функция $k^e(\Delta)$ определяет вероятность вынужденного испускания фотона в единицу времени. Здесь χ – частота Раби, определяющая интенсивность взаимодействия электронного возбуждения примесного центра со светом возбуждающего лазера, p_a и p_b вероятности реализации начального колебательного состояния в основном и возбужденном электронном состоянии, а $\langle a|b \rangle$ интегралы Франка–Кондона функций гармонического осциллятора. Взяв эти интегралы для случая линейного FC-взаимодействия, для формы оптических полос приходим к следующему выражению [22]:

$$S^{g,e}(\omega) = e^{-\varphi(0,T)} \frac{1/2T_1\pi}{\Delta^2 + (1/2T_1)^2} + \Psi^{g,e}(\Delta). \quad (12)$$

Здесь $\Delta = \omega - \Omega$. Первое слагаемое описывает бесфононную линию (БФЛ), а второе слагаемое определяет электрон-фононные фотопереходы и называется фононным крылом (ФК). ФК описывается следующим выражением:

$$\Psi^{g,e}(\Delta) = \sum_{m=1}^{\infty} \Psi_m^{g,e}(\Delta) = \\ = e^{-\varphi(0,T)} \sum_{m=1}^{\infty} \frac{1}{m!} \int_{-\infty}^{\infty} \frac{d\nu_1}{2\pi} \varphi(\nu_1, T) \dots \int_{-\infty}^{\infty} \frac{d\nu_m}{2\pi} \varphi(\nu_m, T) \times \\ \times \frac{1/2T_1\pi}{(\Delta \mp \nu_1 \dots \mp \nu_m)^2 + (1/2T_1)^2}, \quad (13)$$

$$\varphi(\nu, T) = \int_{-\infty}^{\infty} \varphi(t, T) e^{i\nu t} dt = \varphi(\nu)(n(\nu) + 1) + \\ + \varphi(-\nu)n(-\nu), \quad \varphi(\nu) = \sum_{q=1}^N \frac{a_q^2}{2} \delta(\nu - \nu_q), \quad (14) \\ n(\nu) = \frac{1}{\exp(\hbar\nu/kT) - 1}.$$

Согласно формуле (12) БФЛ полосы флуоресценции и поглощения находятся в резонансе друг с другом, а их ширина при учете только линейного FC-взаимодействия определяется временем жизни T_1 возбужденного электронного уровня. ФК в спектре поглощения и флуоресценции расположены зеркально симметрично относительно БФЛ и имеют одинаковую форму.

Учет влияния квадратичного взаимодействия W на форму оптических полос – довольно сложная операция, потому что это влияние нельзя рассматривать по теории возмущений [21, 23]. Дело в том, что квадратичное взаимодействие W изменяет систему нормальных координат при электронном возбуждении. Поэтому частоты фоонов в основном и возбужденном электронном состоянии будут разные: ν_q^g и ν_q^e . Если квадратичное взаимодействие рассматривать в формулах (11) по теории возмущений, то мы обнаружим, что в спектре флуоресценции появятся пики с частотами ν_q^e , а спектре поглощения – с частотами ν_q^g . В эксперименте же будет противоположная картина. В спектре флуоресценции будут наблюдаться пики с частотами ν_q^g , а спектре поглощения – с частотами ν_q^e . Такой результат может объяснить только такая теория, в которой взаимодействие W учитывается без использования теории возмущений. Это обстоятельство существенно усложняет учет влияния квадратичного взаимодействия.

Квадратичное электрон-фононное взаимодействие W , не изменяя принципиально спектральной картины, описанной выше: 1) нарушает симметрию ФК поглощения и флуоресценции, 2) приводит к дополнительному уширению БФЛ, заменяя величину $1/2T_1$ в формулах (12) и (13) на следующее выражение

$$1/T_2 = 1/2T_1 + \gamma_{el-ph}(T), \quad (15)$$

где $\gamma_{el-ph}(T)$ описывает зависящий от температуры вклад в скорость фазовой релаксации от квадратичного электрон-фононного взаимодействия. Выражение для $\gamma_{el-ph}(T)$ без использования теории возмущений было выведено автором [22, 23]. Оно выглядит следующим образом:

$$\gamma_{el-ph}(T) = \\ = \int_0^{\infty} \frac{d\omega}{2\pi} \ln \left[1 + 4n(\omega)(n(\omega) + 1)W^2\Gamma^e(\omega)\Gamma^g(\omega) \right], \quad (16)$$

где

$$\Gamma^e(\omega) = \frac{\Gamma^g(\omega)}{(1 - W\Omega^g(\omega))^2 + (W\Gamma^g(\omega))^2}, \quad (17)$$

$$\Omega^g(\omega) = \int_0^\infty \frac{d\nu}{\pi} \frac{2\nu\Gamma^g(\nu)}{\omega^2 - \nu^2}$$

есть спектральная плотность фононов в возбужденном электронном состоянии, выраженная через спектральную плотность $\Gamma^g(\omega)$ фононов в основном электронном состоянии. Сравнивая эти две функции, мы можем увидеть, какие изменения в фоновой системе вызывает квадратичное FC-взаимодействие.

СВЕРХБЫСТРАЯ ОПТИЧЕСКАЯ ДЕФАЗИРОВКА

Бесконечномерные системы уравнений (3) и (7) для матрицы плотности содержат в себе информацию обо всей оптической полосе, т.е. о бесфононных и электронно-колебательных переходах. Поэтому она способна описать правильно и фазовую релаксацию.

Сверхбыструю фазовую релаксацию обычно наблюдают после прохождения через образец очень короткого лазерного импульса длительности Δt . Тогда, используя и начальные условия $\rho_0(0) = 1$, $\rho_1(0) = \rho_{ab}(0) = \rho_{ba}(0) = 0$, находим из первых двух уравнений системы (7) следующие выражения для недиагональных элементов матрицы плотности:

$$\rho_{ba}(\Delta t) \cong \chi \Delta t \langle b|a \rangle p_a = \vartheta \langle b|a \rangle p_a = \rho_{ab}(\Delta t). \quad (18)$$

После прохождения лазерного импульса матричные элементы начнут изменяться со временем следующим образом:

$$\rho_{ba}(t) = e^{-i\left(\Omega + \Omega_b - \Omega_a - \frac{i}{2T_1}\right)t} \rho_{ba}(\Delta t), \quad (19)$$

$$\rho_{ab}(t) = e^{i\left(\Omega + \Omega_b - \Omega_a + \frac{i}{2T_1}\right)t} \rho_{ab}(\Delta t).$$

Среднее значение дипольного момента молекулы в момент времени t описывается стандартным выражением:

$$d(t) = Tr \{ \hat{d} \hat{\rho}(t) \} = \sum_{a,b} \{ d_{ab} \rho_{ba}(t) + d_{ba} \rho_{ab}(t) \}, \quad (20)$$

где $d_{ab} = d \langle a|b \rangle = d_{ba}$. Подставляя формулы (19) в формулу (20), мы можем представить дипольный момент молекулы в следующем виде:

$$d(t) = 2d\vartheta \operatorname{Re} \left\{ e^{-i\Omega t} S^g(t) \right\}, \quad (21)$$

где функция $S^g(t)$ описывается формулой

$$S^g(t) = \sum_{a,b} p_a \langle a|b \rangle e^{-i\left(\Omega_b - \Omega_a - \frac{i}{2T_1}\right)t} \langle b|a \rangle, \quad (22)$$

Как мы уже отмечали ранее, при учете квадратичного FC-взаимодействия затухание недиагональных матричных элементов определяется не константой $1/2T_1$, а константой $1/T_2 = 1/2T_1 + \gamma_{el-ph}(T)$. Поэтому такую замену целесообразно сделать и в формуле (22). Тогда после вычисления сумм в формуле (22) мы приходим к следующему выражению:

$$S^g(t) = \exp g(t) = \exp \left[-\frac{|t|}{T_2} + \varphi(t, T) - \varphi(0, T) \right], \quad (23)$$

где функция

$$\varphi(t, T) = \sum_{q=1}^N \frac{a_q^2}{2} \{ n_q \exp(iv_q t) + (n_q + 1) \exp(-iv_q t) \}. \quad (24)$$

описывает влияние сдвигов положений равновесия на оптическую полосу. Здесь мы пренебрегаем влиянием квадратичного взаимодействия на функцию $\varphi(t, T)$. Подставляя формулу (23) в формулу (21), мы приходим к следующему выражению для дипольного момента, квадрат модуля которого определяет интенсивность излучения поляризованной молекулы:

$$d(t) = 2d\vartheta \exp \left(-\varphi(0, T) + \operatorname{Re} \varphi(t, T) - \frac{|t|}{T_2} \right) \times \cos(\Omega t + \operatorname{Im} \varphi(t, 0)). \quad (25)$$

Проанализируем последнюю формулу. Если линейное FC-взаимодействие отсутствует, то функция $\varphi(t, T) = 0$, и мы приходим к формуле, описывающей экспоненциальную дефазировку, которая вытекает из уравнений Блоха. Если же линейное FC-взаимодействие не равно нулю, то $\operatorname{Re} \varphi(t, T) \neq 0$, т.е. появляется дополнительная дефазировка, вызванная этим взаимодействием. Эта дефазировка характеризуется функцией дефазировки $\varphi(t, T)$. Функцию дефазировки, описываемую формулой (24), можно представить в следующем виде:

$$\operatorname{Re} \varphi - i \operatorname{Im} \varphi = \int_0^\infty \varphi(\nu) (2n(\nu) + 1) \cos \nu t d\nu - i \int_0^\infty \varphi(\nu) \sin \nu t d\nu, \quad (26)$$

где $\varphi(v) = \sum_q \frac{a_q^2}{2} \delta(v - v_q)$ есть функция взвешенной плотности фононных состояний. Примем, что взаимодействие осуществляется с акустическими фононами, и возьмем эту функцию для квазидебавеской модели:

$$\varphi(v) = \varphi(0,0) 9.857 \frac{v^3}{v_D^{4.5}} \sqrt{v_D - v}, \quad (27)$$

$$0 \leq v \leq v_D.$$

Здесь корень нужен для введения поправки в дебаевскую плотность состояний в высокочастотной области, функция связи с фононами линейна по частоте, а введение численного множителя гарантирует равенство интеграла от этой функции фактору Пекара–Хуанга $\varphi(0, 0)$ при нулевой температуре. Напомним, что этот фактор определяет силу линейного ФС-взаимодействия. На рис. 2 показано временное поведение функции дефазировки, рассчитанное по формуле (26) с учетом формулы (27). При $t \cong 30/v_D$ функция дефазировки обращается в нуль. Типичное для органических растворов значение дебаевской частоты v_D равно примерно 100 см^{-1} , чему соответствует $30/v_D \cong 1.5 \text{ пс}$. Время T_2 при гелиевых температурах на пару порядков больше. Следовательно, неэкспоненциальная дефазировка, обусловленная линейным электрон-фононным взаимодействием происходит в сто раз быстрее экспоненциальной дефазировки, порожденной квадратичным электрон-фононным взаимодействием. Именно эта сверхбыстрая дефазировка и проявляется в фемтосекундном фотонном эхе.

ФЕМТОСЕКУНДНОЕ ФОТОННОЕ ЭХО

Фемтосекундное фотонное эхо было рассмотрено на основе временной эволюции электронно-колебательного вектора Блоха [24]. В системе уравнений (3) разобьем электронно-колебательный вектор Блоха на два вектора: $\vec{a} = (\rho_{ba}, \rho_{ab})$ и $\vec{b} = (\rho_{bb'}, \rho_{aa'})$. Тогда систему уравнений (3) можно записать в следующем виде

$$\dot{\vec{a}} = \hat{\omega} \vec{a} + \hat{\chi}_1 \vec{b}, \quad \dot{\vec{b}} = \hat{\chi}_2 \vec{a} + \hat{\Gamma} \vec{b}.$$

Входящие в систему символы надо понимать следующим образом:

$$\hat{\chi}_1 \vec{b}(\tau) = \vec{a}'(\tau) = \begin{pmatrix} \sum_{b'} \rho_{bb'}(\tau) \chi_{b'a} - \sum_{a'} \chi_{ba'} \rho_{a'a}(\tau) \\ \sum_{b'} \chi_{ab'}^* \rho_{b'b}(\tau) - \sum_{a'} \rho_{aa'}(\tau) \chi_{a'b}^* \end{pmatrix} = \begin{pmatrix} \rho_{ba}(\tau) \\ \rho_{ab}(\tau) \end{pmatrix}, \quad (28)$$

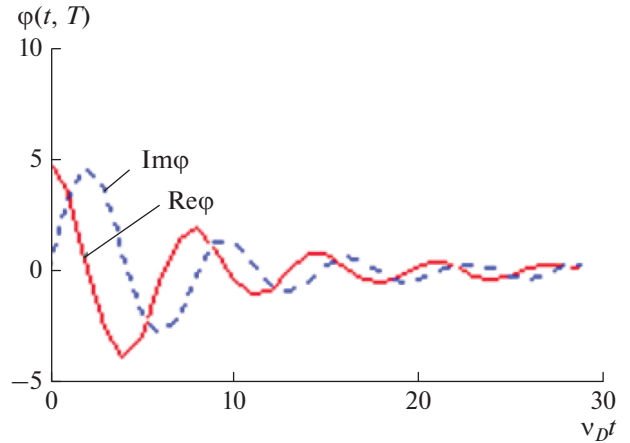


Рис. 2. Временное поведение функции дефазировки при $T = 0$.

$$\hat{\chi}_2 \vec{a}(\tau) = \vec{b}(\tau) = \begin{pmatrix} -\sum_a (\rho_{ba}(\tau) \chi_{ab}^* + \chi_{ba} \rho_{ab'}(\tau)) \\ \sum_b (\chi_{ab}^* \rho_{ba'}(\tau) + \rho_{ab}(\tau) \chi_{ba'}) \end{pmatrix} = \begin{pmatrix} \rho_{bb'}(\tau) \\ \rho_{aa'}(\tau) \end{pmatrix}, \quad (29)$$

$$e^{\hat{\omega} \tau} \vec{a} = \begin{pmatrix} e^{\varepsilon_{ba} \tau} \rho_{ba} \\ e^{\varepsilon_{ab} \tau} \rho_{ab} \end{pmatrix}, \quad (30)$$

где

$$\varepsilon_{ba} = -i(\Omega + \Omega_{ba} - i/2T_1), \quad -i(-\Omega + \Omega_{ab} - i/2T_1), \quad (31)$$

$$\Omega_{ab} = \Omega_a - \Omega_b.$$

Выражение для дипольного момента в момент времени $t = \tau + \tau'$ описывается следующей формулой:

$$d(t) = \vec{d}^\perp \vec{a}(t) = \vec{d}^\perp e^{\hat{\omega} \tau} \hat{\chi}_1 \hat{\chi}_2 e^{\hat{\omega} \tau'} \hat{\chi}_1 \vec{b}(0). \quad (32)$$

Перемножая матрицы в этом выражении, приходим к следующему выражению для дипольного момента, определяющего интенсивность фотонного эха:

$$d_{2PE}(t) = 4e^{\frac{\tau'+\tau}{2T_1}} \times \times \text{Re} \left\{ e^{-i\Omega(\tau'+\tau)} \sum_{ab} \sum_{b'a'} d_{ab} e^{-i\Omega_{ba}\tau'} \chi_{ba} \rho_{a'a} \chi_{a'b} e^{-i\Omega_{a'b}\tau} \chi_{b'a} \right\}. \quad (33)$$

Фононные частоты Ω_a и Ω_b – суть собственные значения адиабатических гамильтонианов H^g и H^e . Принимая во внимание, что $d_{ab} = d \langle a|b \rangle$, $\chi_{ab} = \vartheta \langle a|b \rangle$, $\Omega_{ab} = \Omega_a - \Omega_b$, и заменяя частоты на

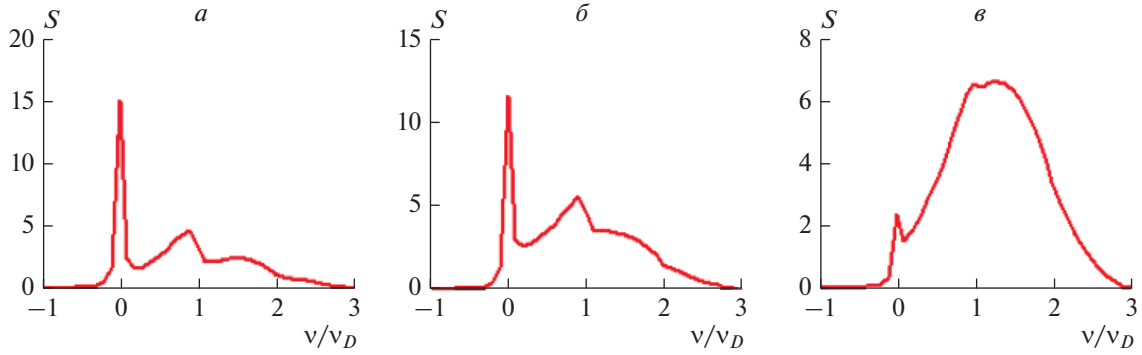


Рис. 3. Оптическая полоса при $T = 0.1T_D$ (а), $0.3T_D$ (б), T_D (в). Фактор Пекара–Хуанга равен 0.7, $T_2 = T_D/30$, $T_D = 210$ К.

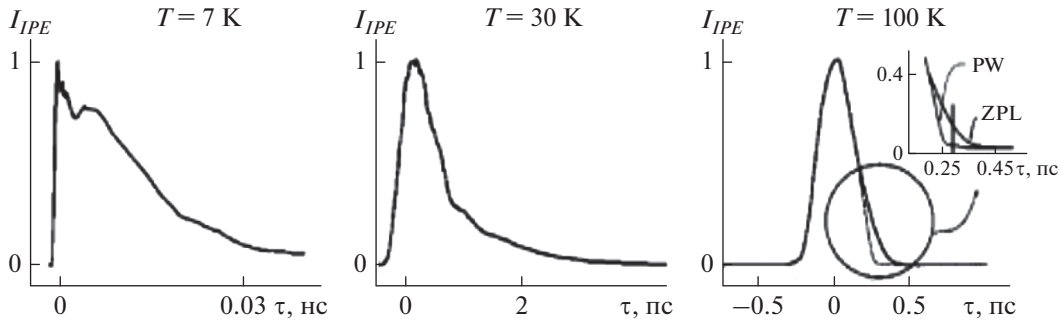


Рис. 4. Перераспределение вкладов в дефазировку от БФЛ и ФК, происходящее при температурном изменении формы оптической полосы. Взято из [18].

эти гамильтонианы, мы получаем следующее выражение для дипольного момента:

$$d_{2PE}(t) = 4d\delta^3 e^{\frac{\tau'+\tau}{2T_1}} \times \text{Re} \left\{ e^{-i\Omega(\tau'-\tau)} \left\langle e^{-\frac{H^s}{\hbar}\tau} e^{\frac{H^e}{\hbar}\tau} e^{\frac{H^s}{\hbar}\tau'} e^{-\frac{H^e}{\hbar}\tau'} \right\rangle_g \right\}, \quad (34)$$

где угловые скобки обозначают квантово-статистическое усреднение. Вычисляя это среднее, приходим к следующей формуле для дипольного момента, описывающего сигнал двухимпульсного эха:

$$d_{2PE}(\tau'+\tau) = 4d\delta^3 e^{\frac{\tau+\tau'}{T_2}} \times \text{Re} \{ \exp[2g^*(\tau) + 2\text{Re} g(\tau') - g^*(\tau'+\tau)] \}, \quad (35)$$

где функция

$$g(t) = \varphi(t, T) - \varphi(0, T) \quad (36)$$

есть разность между функцией дефазировки $\varphi(t, T)$ и фактором Пекара–Хуанга, $\varphi(0, T)$, характеризующим силу линейного FC-взаимодействия.

Из формулы (35) следует, что при $\tau = \tau' = 0$ дипольный момент максимален, а с ростом τ он начинает убывать, стремясь к нулю. При $\tau \ll T_2$ умень-

шение величины дипольного момента будет происходить за счет убывания величины функции дефазировки

$$\varphi(t, T) = \int_{-\infty}^{\infty} \varphi(v, T) e^{-ivt} \frac{dv}{2\pi}. \quad (37)$$

Функция дефазировки $\varphi(t, T)$ обращается в нуль на временном интервале порядка обратной частоты Дебая. Поэтому эту функцию следует называть функцией быстрой дефазировки. При $\tau > T_2$ главную роль в убывании дипольного момента (дефазировке) начинает играть экспоненциальный множитель с константой T_2 . Константа $\varphi(0, T)$, называемая фактором Пекара–Хуанга, характеризует силу линейного Франк–Кондоновского взаимодействия.

При повышении температуры величина константы $\varphi(0, T)$ Пекара–Хуанга возрастает и поэтому БФЛ уменьшается, а интенсивность ФК возрастает, как показано на рис. 3.

Оптическая полоса S , представленная на рис. 3, рассчитана по формулам (12) и (13) с использованием следующей функции взвешенной плотности фононных состояний

$$\varphi(v) = 0.7 \times 60 \left(\frac{v}{v_D} \right)^3 \left(1 - \frac{v}{v_D} \right)^2. \quad (38)$$

Изменение формы оптической полосы поглощения при повышении температуры приводит к изменению формы сигнала двухимпульсного эха. Подобное изменение сигнала эха с ростом температуры демонстрирует рис. 4, на котором показан экспериментальный результат для сигнала двухимпульсного некогерентного фотонного эха из работы [18]. При высокой температуре, когда БФЛ фактически пропадает, форма сигнала фотонного эха определяется фоновым крылом оптической полосы.

ЗАКЛЮЧЕНИЕ

Уравнения Блоха не могут описать временную эволюцию системы, в которой актуальны электронно-колебательные переходы (см., например рис. 1). Поэтому в 1990 г. автор рассмотрел в работе [15] временную эволюцию электронно-колебательной системы на основе матрицы плотности для такой системы. Результатом этого рассмотрения стала бесконечная система уравнений (3).

В данной статье показано, что с помощью вектора Блоха для электронно-колебательной системы, (обобщенного вектора Блоха) мы можем рассматривать временную эволюцию системы аналогично тому, как это делается при рассмотрении более простых систем, описываемых с помощью оптических уравнений Блоха. Благодаря бесконечному числу компонент в обобщенном векторе Блоха в выражении для дипольного момента излучателя появляются бесконечные суммы, которые описывают собой форму электронно-колебательных полос. Мы показали, что для вычисления этих сумм можно использовать теорию, построенную ранее автором для электронно-колебательных полос, изложенную в работах [21, 22].

Если в уравнениях Блоха релаксация поляризации описывается с помощью времени дефазировки T_2 , которое вводится феноменологически, то в нашей более общей теории релаксация поляризации на фемтосекундной и пикосекундной шкале описывается функцией дефазировки $\varphi(t, T)$, и только на более длинной временной шкале эта релаксация описывается константой T_2 ; причем теория дает микроскопическое выражение (16) для этой, зависящей от температуры константы.

Результат теории, представленной в статье, кратко можно кратко сформулировать следующим образом. Оптическая дефазировка систем с электронно-колебательными переходами определяется шириной бесфононной линии оптической полосы, которая проявляется с помощью константы T_2 , а также фоновым крылом, которое проявляется с помощью функции дефазировки $\varphi(t, T)$.

Работа выполнена в рамках Государственного задания Института спектроскопии Российской академии наук.

СПИСОК ЛИТЕРАТУРЫ

1. Bloch F. // Phys. Rev. 1946. V. 70. P. 460.
2. Hahn E.L. // Phys. Rev. 1950. V. 80. P. 580.
3. Калачев А.А., Самарцев В.В. Когерентные явления в оптике. Казань: Изд-во КГУ, 2003.
4. Blume R.I. // Bull. Am. Phys. Soc. 1956. V. 1. P. 397.
5. Даутов Р.А., Корепанов В.Д., Фадеев В.М. // ЖЭТФ. 1959. Т. 37. С. 308.
6. Maiman N.Y. // Nature. 1960. V. 187. P. 493.
7. Копвиллем У.Х., Нагибаров В.Р. // ФММ. 1963. Т. 15. С. 313.
8. Kurnit N.F., Abella I.D., Hartmann S.R. // Phys. Rev. Lett. 1964. V. 13. P. 567.
9. Копвиллем У.Х., Нагибаров В.Р., Пирожков В.А. и др. // ФТТ. 1972. Т. 14. С. 1794.
10. Алимниев С.С., Карлов Н.Н. // ЖЭТФ. 1972. Т. 63. С. 482.
11. Allen L., Eberly J.H. Optical resonance and two-level atoms. N.Y.—London—Sydney—Toronto: Wiley Intersci. Publ., 1975.
12. Манькин Э.А., Самарцев В.В. Оптическая эхо-спектроскопия. М.: Наука, 1984.
13. Евсеев И.В., Рубцова Н.Н., Самарцев В.В. Когерентные переходные процессы в оптике. М.: Физматлит, 2009.
14. Персонов Р.И., Осадько И.С., Годяев Э.Д., Альшиц Е.И. // ФТТ. 1971. Т. 13. С. 2653.
15. Осадько И.С. // ЖЭТФ. 1990. Т. 98. С. 1045; Osad'ko I.S. // Sov. Phys. JETP. 1990. V. 71. P. 583.
16. Козлов С.А., Самарцев В.В. Оптика фемтосекундных лазеров. СПб: Изд-во ИТМО, 2007.
17. Samartsev V.V., Shegeda A.M., Shkalikov A.V. et al. // Las. Phys. Lett. 2007. V. 4. № 7. P. 534.
18. Vainer Yu.G., Kol'chenko M.F., Naumov A.V. et al. // J. Chem. Phys. 2002. V. 116. P. 8959.
19. Каримуллин К.Р., Князев М.В., Наумов А.В. // Изв. РАН. Сер. физ. 2014. Т. 78. № 12. С. 1539; Karimullin K.R., Knyazev M.V., Naumov A.V. // Bull. Russ. Acad. Sci. Phys. 2014. V. 78. № 12. P. 1254.
20. Knyazev M.V., Karimullin K.R., Naumov A.V. // Phys. Stat. Sol. RRL. 2017. V. 11. № 3. Art. № 1600414.
21. Осадько И.С. // ЖЭТФ. 1977. Т. 72. С. 1575; Osad'ko I.S. // Sov. Phys. JETP. 1977. V. 45. P. 827.
22. Осадько И.С. // Селективная спектроскопия одиночных молекул. М.: Физматлит, 2000.
23. Осадько И.С. Квантовая динамика молекул, взаимодействующих с фотонами, фононами и туннельными системами. М.: Физматлит, 2017.
24. Осадько И.С., Сташек М.В. // ЖЭТФ. 1994. Т. 106. С. 535; Osad'ko I.S., Stashek M.V. // JETP. 1994. V. 79. P. 293.